

リモートセンシング画像による土質データの判読について

広島工業大学 正員 島重章

1. はじめに： リモートセンシング観測は一般に人工衛星などを利用し、地球的規模の環境調査や海域調査に効果をあげている。これらは太陽エネルギーの熱的特性をMSSに収納し、画像化して判読するもので、今後また区分された反射波長の各特性により地表や海面の状況を判断するものであるが、土木的規模の面積を対象にする場合には詳細な画像が必要とする。ここでは日本平野を1画素とする航空機リモートセンシング観測により得られたデータをもとに、切土面の画像を用いて土質データの定量的判読を行ったものである。今回はこの画像の作成過程におけるクラスタ分析手法の違いと、地上データの相間にによる判読効果の有効性を比較検討した。

2. 陸域観測方法： 航空機観測は昭和57

年9月13日に広島県安芸郡江田島町江関付近を中心として、ライトコース約10km間を走査した。MSSデータは海面高度1400mから0.35~12.5μmの分光波長を収録し、CCT処理レーテータによる画像化を行ったものである。

地上調査は航空機観測と同時に実施したもので、地域はライトコース内の中央部に位置する土砂採取場である。この付近は広島型花崗岩類の風化土であるます土に覆われている。

現場の概要および測点位置は図-1に示す。地

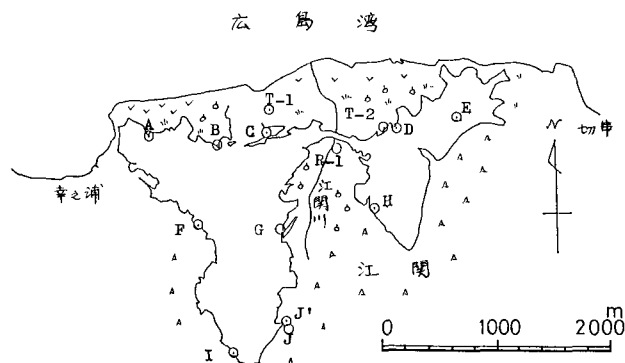


図-1. 現地概略図および測点位置図

上調査結果は気象および土質について、それらのノイズを表-1に示す。

3. 画像解析結果： 分光波長データは紫外(1ch.)、可視(3, 5, 7ch.)、近赤外(9ch.)および赤外(11ch.)の領域に区分されている。従ってこれらの各データをモニター表示すると、得られる画像は各データの分光特性を示すと考えられる。即ち可視は土と水の性状を、近赤外は植生状況を、赤外は熱的特性を示す。これらの画像解析方法は全体画像から対象地域の抽出を行ひ、クラスタ分析を実行する。分析データは140個を無作為抽出し、クラス数10個に分類して

表-1. 地上測定データ表

NO.	気温 (°C)	地温 (°C)	含水比 (%)	密度 (g/cm³)	比重	0.074mm通過 (%)	曲率係数	pH
A	28.0	27.8	9.66	1.288	2.576	15	1.83	6.7
B	27.8	30.9	11.77	1.451	2.567	20	2.01	6.0
C	27.5	28.5	2.14	1.777	2.607	22	3.84	5.7
D	29.7	29.3	5.40	1.379	2.600	12	2.88	5.3
E	27.8	30.4	2.77	-	2.616	8	0.56	9.0
F	27.9	26.9	6.27	-	2.606	23	7.18	5.7
G	27.8	26.8	5.67	1.655	2.600	14	4.91	5.5
H	27.5	27.9	1.30	-	2.615	7	1.48	6.6
I	27.2	28.0	3.37	-	2.609	9	1.28	7.4
J	25.8	28.6	6.47	1.151	2.544	12	3.44	4.3
J'	27.5	30.8	8.43	1.391	2.582	26	4.62	4.6
R-1	29.4	28.3	12.70	-	2.503	19	2.89	5.2
T-1	27.1	28.0	2.77	-	2.591	9	1.84	6.9
T-2	25.2	32.2	2.93	-	2.598	6	1.42	5.7

を図-2に、(手法2)を図-3に示す。

4. 土質データの判読検定： 陸域における収集データと、得られた各 ch 画像間には波長帯域の特性による相関を示す。可視域を示す 3, 5, 7 および 9 ch の画像と地上データとの相関分析を行った結果、危険率 5% 以下で有意性のあると判定されたものにつき表-2に示す。この結果を定性的な表示と考え、更に判別分類図を使用した定量的な表示を検討する。その判読は手法 1 やび手法 2 で得られた 2 種類の判別分類画像と、表-2に示したデータとの相関分析である。結果は表-3に示すように、危険率 5% 以下で有意性の検定を行ったもので、手法 1 やび手法 2 を比較すると、明らかに手法 2 が結果の良いことを示した。従って、このように多くの情報を判読する際には、手法 2 のような 6 種の ch. を使用することが必要である。しかしながら、3 種の ch. を使用した画像からも、含水比のみの定量判読は可能である。

5. わりに： リモートセンシング画像による土質データの判読は、判別分類手法に多チャンネルデータを使用する方が、精度上、判読上有効であることが判明した。更に今後、多くのデータ収集を行ない、リモートセンシングの土質工学への適用を検討していきたい。

終りに、リモートセンシング「観測」やび「画像解析」は、(財)日本造船振興財團のプロジェクトに参加して得られた成果の一環であり、地上観測は(株)鴻治組・三井不動産建設(株)JV 江田島作業所の協力による。更に、本研究をまとめるに当り、本学卒業生の大上佳人君(現、KK 出雲測量設計)やび川尻宏一君(現、ライト工業 KK)の御協力を得た。ここに記して謝意を表す。

表-2. MSS データの可視域チャネルと地上データの相関分析結果

地上 データ	MSS データ		3 ch.		5 ch.		7 ch.		9 ch.	
	相関係数	危険率	相関係数	危険率	相関係数	危険率	相関係数	危険率	相関係数	危険率
w (%)	0.233	-	0.405	-	0.254	-	0.817	0.01		
Gs	-0.525	-	-0.305	-	-0.245	-	-0.657	0.05		
Pd (g/cm³)	-0.050	-	-0.134	-	0.011	-	-0.864	0.05		
D _{0.074mm} passing (%)	0.079	-	0.433	-	0.573	0.05	0.477	-		
Uc'	0.162	-	0.275	-	0.634	0.05	0.424	-		
pH	-0.450	-	-0.428	-	-0.394	-	-0.553	0.05		

表-3. 判別分類画像と地上データの相関分析結果

地上 データ	判別分類画像 (手法 1; 7, 9, 11 ch 使用)			判別分類画像 (手法 2; 1, 3, 5, 7, 9, 11 ch 使用)		
	相関係数	有意性	危険率	相関係数	有意性	危険率
w (%)	0.698	*	0.05	0.820	*	0.01
Gs	-0.574	-	-	-0.710	*	0.05
t (°C)	0.085	-	-	0.794	*	0.05
Pd (g/cm³)	0.127	-	-	-0.886	*	0.05

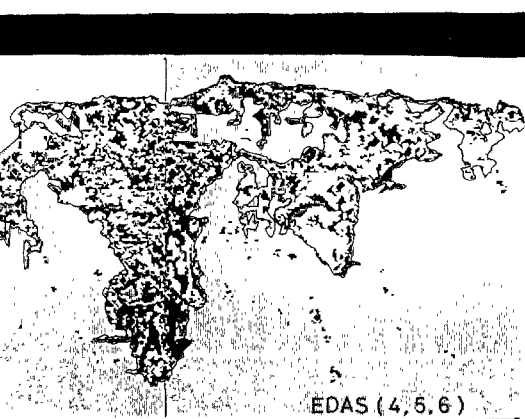


図-2. 手法 1 による判別分類画像



図-3. 手法 2 による判別分類画像